

3. Одинг И. А. Допускаемые напряжения в машиностроении и циклическая прочность металлов. М., Машгиз, 1962.
4. Писаренко Г. С., Троценко В. Т., Бугай В. И. Исследование закономерностей усталостного разрушения металлов методом динамической петли гистерезиса. В сб.: «Прочность металлов при циклических нагрузках». М., «Наука», 1967, стр. 114—119.
5. Иванова В. С. Установка для испытания на усталость плоских образцов при изгибе. Заводск. лаборатория, 1956, т. 22, № 12.
6. Берг Л. Г. Введение в термографию. М., Изд-во АН СССР, 1961.
7. Афанасьев Н. Н. Статистическая теория усталостной прочности металлов. Киев, Изд-во АН УССР, 1953.
8. Коган Р. Л. О закономерностях пластической деформации в образцах при циклическом изгибе. В сб.: «Циклическая прочность металлов», М., Изд-во АН СССР, 1962.
9. Гуревич С. Е., Едидович Л. Д. Структурная повреждаемость стали в процессе усталости. В сб.: «Прочность металлов при циклических нагрузках», М., «Наука», 1967, стр. 55—61.
10. Schenk H., Schmidtmann E., Kettler H. Einfluß einer Verformungsalterung auf die Vorgänge bei der Wechselbeanspruchung von Stahl. Arch. Eisenhüttenwesen, 1960, N. 11 S. 659.
11. Иванова В. С. Усталостное разрушение металлов. М., Металлургиздат, 1963.
12. Wei R. P., Baker A. J. A metallographic study of iron fatigued in cyclic strain at room temperature. Philos. Mag. 1965, vol. 12, No 119, pp. 1005—1020.
13. Гурьев А. В., Столяров Г. Ю. О развитии микропластической деформации в процессе усталости малоуглеродистой стали. В сб.: «Металловедение и прочность материалов», Волгоград, 1968, стр. 56—65.
14. Ровинский Б. М., Рыбаков Л. М. Напряжение, деформации и структурные изменения в техническом железе при циклической пластической деформации. Изв. АН СССР, Металлы, 1965, № 3, стр. 101—103.
15. McEvily A. J., Jr., Boettner R. C. On fatigue crack propagation in f. c. c. metals. Acta metallurgica, 1963, vol. 11, No 7, pp. 725—743.

### О ПОЛЗУЧЕСТИ МАТЕРИАЛОВ С РАЗНЫМИ ХАРАКТЕРИСТИКАМИ НА РАСТЯЖЕНИЕ И СЖАТИЕ

*O. B. Соснин*

(*Новосибирск*)

Приведены экспериментальные данные по ползучести трубчатых образцов при растяжении и кручении. Экспериментально показано, что регулирующий вектор скоростей деформаций ползучести ортогонален к кривой постоянной мощности рассеяния. Приводятся приближенные аналитические выражения, позволяющие описать процесс ползучести материалов с разными характеристиками на растяжение и сжатие.

1. Легкие сплавы, обладая довольно стабильными свойствами в смысле мгновенных упруго-пластических характеристик, причем последние могут не зависеть ни от направления прикладываемой нагрузки, ни от ее знака, проявляют существенную анизотропию по отношению к ползучести. У таких сплавов, как магниевые, титановые, в зависимости от направления и от знака нагрузки скорость деформирования при одном и том же напряжении может отличаться в несколько раз. Так, у алюминиево-магниевого сплава мгновенная диаграмма  $\sigma - \varepsilon$ , снятая на растяжение и сжатие при температуре 200° С, полностью совпадает как в упругой, так и в пластической областях, скорости же деформаций ползучести  $\dot{\eta}$  при одних и тех же напряжениях на растяжение и сжатие отличаются более чем в три раза.

На фиг. 1 представлены результаты экспериментов, проведенных на образцах, вырезанных из цилиндрической заготовки алюминиево-магниевого сплава при температуре 200° С. Здесь по оси абсцисс отложено напряжение  $\sigma$  в  $\text{kg}/\text{mm}^2$ , по оси ординат — величины натуральных логарифмов скоростей деформаций ползучести  $\dot{\eta}$  в  $\text{час}^{-1}$ . Цифры у линий соответствуют данным, полученным на образцах, вырезанных под углом 45° к оси заготовки — 1, из диаметральной плоскости заготовки — 2, из осевого направления заготовки — 3. Светлые точки соответствуют экспериментальным данным при

растяжении. Цифрой 4 отмечены экспериментальные данные при сжатии образцов, вырезанных из осевого направления заготовки. Из диаграммы фиг. 1 видно, что материал относительно свойств ползучести анизотропен и обладает разным сопротивлением растяжению и сжатию.

Процесс ползучести этого материала при температуре 200° С и напряжениях от 8 кг/мм<sup>2</sup> и выше протекает практически без упрочнения и для любого направления  $\nu$  может быть описан зависимостью вида

$$|\eta| = e^{-K_\nu + \beta_\nu |\sigma|} \quad (1.1)$$

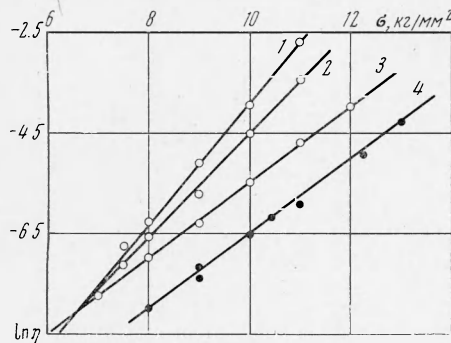
Из диаграмм фиг. 1 нетрудно определить величины  $K_\nu$  и  $\beta_\nu$  для каждого из названных выше направлений на растяжение и сжатие

$$\beta_1 = 1.24, \quad \beta_2 = 1.0, \quad \beta_3 = \beta_4 = 0.75 \quad [\text{мм}^2/\text{кг}] \quad (1.2)$$

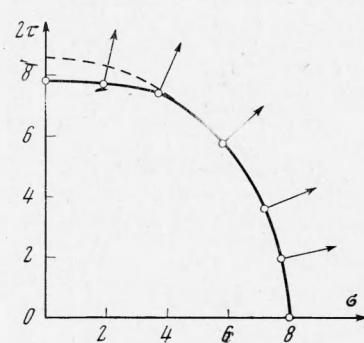
$$K_1 = 16.2, \quad K_2 = 14.6, \quad K_3 = 13.0, \quad K_4 = 14.1$$

Здесь цифры у букв соответствуют цифрам у диаграмм фиг. 1.

Расчетные кривые по зависимости (1.1) с характеристиками (1.2) показали достаточно хорошую аппроксимацию экспериментальных кривых ползучести для всех четырех серий экспериментов.



Фиг. 1



Фиг. 2

С целью анализа поведения этого материала в условиях сложного напряженного состояния была проведена большая серия экспериментов при том же температурном режиме на трубчатых образцах, вырезанных из осевого направления исходной заготовки (рабочая длина образца 80 мм, наружный и внутренний диаметры — соответственно 20 и 18 мм), при различных комбинациях осевого растяжения и крутящего момента, приложенных к образцу. При чисто осевом растяжении результаты на трубчатых образцах совпадали с результатами, полученными на малых цилиндрических образцах, на которых определялись исходные характеристики материала (1.2).

На плоскости напряжений от экспериментально были найдены точки, в которых процессы ползучести протекают с одной и той же интенсивностью в смысле мощности рассеяния  $W = \sigma_{ij}\eta_{ij}$ . Таким образом, были построены три экспериментальные кривые  $W = \text{const}$ , соответствующие различным уровням интенсивности процесса. Величины напряжений  $\sigma$  и  $\tau$  в кг/мм<sup>2</sup>, при которых проводились эксперименты, величины осевых скоростей деформаций ползучести  $\eta_{11}$  скоростей деформаций сдвига  $d\gamma/dt \equiv 2\eta_{12}$ , замеренные в эксперименте, а также экспериментальные величины  $W = \sigma\eta_{11} + \tau^2\eta_{12}$  приведены в таблице.

На фиг. 2 сплошной линией представлена одна из кривых  $W = \text{const}$ , кружками отмечено напряженное состояние, при котором проводился эксперимент. В каждой из указанных точек, откладывая по горизонтали удвоенную величину  $\eta_{11}$  и по вертикали — величину  $2\eta_{12}$ , построен результирующий вектор скоростей деформаций ползучести, который достаточно хорошо совпадает с направлением нормали к кривой  $W = \text{const}$ . Аналогичная картина получается и для других двух кривых  $W = \text{const}$ . Из фиг. 2 следует, что, несмотря на сложность в поведении материала при ползучести, в пространстве напряжений существует поверхность, совпадающая с поверхностью  $W = \text{const}$ , к которой результирующий вектор скоростей деформаций ползучести ортогонален.

Этот результат является хорошим подтверждением гипотезы существования потенциальной функции скоростей деформаций ползучести для анизотропных сред.

$\sigma$	$\tau$	$\eta^*_{11} \cdot 10^3$	$\eta_{11} \cdot 10^3$	$2\eta^*_{12} \cdot 10^3$	$2\eta_{12} \cdot 10^3$	$W \cdot 10^3$
8.00	0	0.93	0.95	—	—	7.60
7.76	0.97	0.91	0.90	0.35	0.40	7.40
7.20	1.80	0.88	0.85	0.68	0.70	7.35
5.77	2.88	0.70	0.65	1.10	1.20	7.20
3.72	3.72	0.46	0.36	1.41	1.70	7.66
1.93	3.85	—	0.18	—	1.75	7.10
0	3.94	—	—	—	1.90	7.45
9.00	0	1.96	1.95	—	—	17.55
8.70	1.09	1.92	1.95	0.90	0.65	17.71
8.00	2.00	1.84	1.84	1.64	1.50	17.63
6.33	3.17	1.51	1.55	2.56	2.57	17.85
4.00	4.00	0.87	0.70	2.78	3.70	17.60
2.10	4.20	—	0.20	—	4.20	18.10
0	4.25	—	—	—	4.15	17.64
10.00	0	4.15	4.10	—	—	41.00
9.60	1.20	3.90	3.70	2.06	1.50	37.40
8.80	2.20	3.80	3.50	3.80	3.34	37.94
6.90	3.45	3.10	3.00	5.70	5.24	38.45
4.30	4.30	1.71	1.25	5.83	7.30	36.77
2.22	4.45	—	0.45	—	8.40	38.40
0	4.58	—	—	—	9.00	41.20

2. Представляет интерес дать хотя бы приближенные аналитические зависимости, позволяющие описать процесс ползучести сред, разноопротивляющихся растяжению и сжатию. Оставаясь в рамках гипотезы существования потенциальной функции скоростей деформаций ползучести, очевидно, недостаточно предполагать ее зависящей только от квадратичной формы тензоров напряжения и анизотропии, необходимо введение нечетных инвариантов.

Введем самое простое предположение: допустим, что процесс ползучести зависит от знака первого инварианта тензора напряжений  $I_1 = \sigma_{ii}$ , т. е. все пространство напряжений плоскостью  $\sigma_{ii} = 0$  разобьем на два подпространства, в каждом из которых, введением потенциальной функции, зависящей только от квадратичных инвариантов со своими характеристиками, попытаемся описать процесс ползучести. Или, говоря геометрическим языком, предположим, что в пространстве главных напряжений потенциальные поверхности  $\Phi = \text{const}$  представляют собой два семейства соосных цилиндров (в общем случае анизотропных сред — не круговых) с осями, равнонаклоненными к осям координат. Оба семейства сопрягаются в окрестности девиаторной плоскости, проходящей через начало координат. Векторы скоростей деформаций ползучести ортогональны к этим поверхностям.

Для напряженного состояния, представляющего собой комбинацию растяжения и кручения,  $I_1 \geq 0$  и, следовательно, характеристики материала, соответствующие сжатию, в потенциальную функцию не войдут. Для определения квадратичной формы в потенциальной функции с учетом осевой симметрии материала достаточно первых трех пар характеристик. Используя условие, что на фиг. 1 верхние три линии, соответствующие данным на растяжение, пересекаются в точке  $\sigma_0 = 6.5 \text{ кг/мм}^2$  и повторяя рассуждения, аналогичные приведенным в [1], сконструируем потенциальную функцию в виде

$$\begin{aligned} \eta_{ij} &= \partial\Phi/\partial\sigma_{ij}, \quad \Phi = M(S/T)^{1/2} \exp \{-[D + \sigma_0(2T/S)^{1/2}] + T^{1/2}\} \quad (2.1) \\ S &= 3\sigma_{ij}^0\sigma_{ij}^0, \quad \sigma_{ij}^0 = \sigma_{ij} - 1/3\delta_{ij}\sigma_{kk} \\ T &= A_{11}(\sigma_{22} - \sigma_{33})^2 + A_{22}(\sigma_{33} - \sigma_{11})^2 + A_{33}(\sigma_{11} - \sigma_{22})^2 + \\ &\quad + 2A_{12}\sigma_{12}^2 + 2A_{23}\sigma_{23}^2 + 2A_{31}\sigma_{31}^2 \end{aligned}$$

где  $M$  — константа размерности  $1 \text{ час}^{-1}$ .

Применимально к описанию процессов ползучести при растяжении и кручении квадратичная форма  $T$ , с учетом того что  $A_{12} = A_{13}$  и введением касательного напряжения  $\tau$ , примет вид

$$T = (A_{22} + A_{33})\sigma^2 + 2A_{12}\tau^2 \quad (2.2)$$

коэффициенты которой определяются через величины (1.2) [1]

$$A_{22} + A_{33} = \beta_3^2, \quad 2A_{12} = (2\beta_1)^2 - \beta_2^2, \quad D = K_v - \beta_v \sigma_0 + \frac{1}{2} \ln 2 \quad (2.3)$$

где  $K_v$ ,  $\beta_v$  — любая из первых трех пар (1.2). Подставляя в (2.3) значения (1.2), найдем

$$A_{22} + A_{33} = 0.56, \quad 2A_{12} = 5.2, \quad D = 8.45 \quad (2.4)$$

Компоненты скоростей деформаций ползучести из (2.1) с учетом (2.2) и (2.4) будут выражаться

$$\eta_{11} = C (2B_1 + 0.56B_2) \sigma, \quad 2\eta_{12} = C (6B_1 + 5.2B_2) \tau \quad (2.5)$$

Здесь

$$C = \exp \{(0.56\sigma^2 + 5.2\tau^2)^{1/2} - 8.45 - 6.5 (0.56\sigma^2 + 5.2\tau^2)^{1/2} (\sigma^2 + 3\tau^2)^{-1/2}\}$$

$$B_1 = [(2\sigma^2 + 6\tau^2) (0.56\sigma^2 + 5.2\tau^2)^{1/2}]^{-1/2} + \sqrt{2} 6.5 (2\sigma^2 + 6\tau^2)^{-1}$$

$$B_2 = [(2\sigma^2 + 6\tau^2)^{1/2} - \sqrt{2} 6.5] (0.56\sigma^2 + 5.2\tau^2)^{-1/2} - (2\sigma^2 + 6\tau^2)^{1/2} (0.56\sigma^2 + 5.2\tau^2)^{-3/2}$$

Величины скоростей осевых  $\eta_{11}^*$  и сдвиговых  $2\eta_{12}^*$  деформаций ползучести, рассчитанных по зависимостям (2.5), указаны в таблице.

Мощность рассеяния  $W = \sigma\eta_{11} + \tau 2\eta_{12}$  непосредственно следует из (2.1)

$$W = M (S)^{1/2} \exp \{ -[D + \sigma_0 (2T/S)^{1/2}] + T^{1/2} \} \quad (2.6)$$

Вид кривой  $W^* = \text{const}$ , проходящей через точку  $\sigma = 8 \text{ кг/мм}^2$ ,  $\tau = 0$ , рассчитанной по зависимости (2.6) с характеристиками (2.4), представлен на фиг. 2 пунктирной линией. В большей части экспериментально исследованной области напряжений расчетная кривая совпадает с экспериментальной. Непосредственный расчет показывает, что кривые  $\Phi = \text{const}$  (2.1) и  $W^* = \text{const}$  (2.6), проходящие через какую-либо одну точку плоскости  $\sigma$ ,  $\tau$ , довольно близки: наибольшая разница в уровнях напряжений между ними порядка 3%, а разница в направлениях нормалей к этим кривым практически отсутствует.

Сравнивая из таблицы величины расчетных и экспериментально замеренных скоростей деформаций ползучести и расположение расчетных кривых  $W^* = \text{const}$  и экспериментально найденных на фиг. 2, можно заключить, что зависимость (2.1) вполне удовлетворительно описывает процесс ползучести материала, хотя он и обладает различными свойствами на растяжение и сжатие. Исключение составляет область, непосредственно примыкающая к напряженному состоянию, типа чистый сдвиг, когда  $I_1 = 0$ . Этот результат говорит в пользу предлагаемой в начале пункта гипотезы о возможности разделения и независимого описания процессов ползучести для случая положительных и отрицательных значений первого инварианта тензора напряжений. Наибольшей погрешности в зависимостях следует ожидать в окрестности нулевой величины  $I_1$ .

Поступила 7 X 1969

#### ЛИТЕРАТУРА

- Соснин О. В. Анизотропная ползучесть упрочняющихся материалов. МТТ, 1968, № 4.